・肝脏肿瘤・ DOI: 10.12449/JCH241018

血浆胆汁酸在肝肿瘤中的差异分析及应用价值

贾 茹^{1a},张平平^{1a},袁 苑^{2a},胡义扬^{2b,3,4},冯 琴^{1b,2b,3,4},

- 1 上海中医药大学附属曙光医院 a. 肿瘤科, b. 科技实验中心, 上海 201203
- 2 上海中医药大学 a. 中西医结合学院, b. 肝病研究所, 上海 201203
- 3 上海市中医临床重点实验室, 上海 201203
- 4 肝肾疾病病证教育部重点实验室, 上海 201203

通信作者: 冯琴, fengqin@shutcm.edu.cn (ORCID: 0000-0002-4641-1636)

摘要:目的 分析原发性肝癌与转移性肝癌患者血浆胆汁酸水平及其与临床指标的相关性,并评估其联合 AFP对于原发性 肝癌的诊断价值。方法 纳入 2020 年 8 月一2021 年 9 月于上海中医药大学附属曙光医院就诊且具有组织病理学及影像学明确的 75 例原发性肝癌患者及 79 例转移性肝癌患者,采集外周血并分别分离血清及血浆,比色法及色谱法检测生化指标,电化学发光免疫分析法检测肿瘤标志物水平,高效液相色谱-串联质谱法检测胆汁酸含量。符合正态分布的计量资料两组间比较采用成组 1 检验,不符合正态分布的计量资料两组间比较采用 Mann-Whitney U 检验。相关性检验采用 Spearman 相关分析。临床诊断效能采用受试者工作特征曲线(ROC 曲线)评估。结果 原发性肝癌组患者 TC、TG、LDL-C 及载脂蛋白(Apo) B 显著低于转移性肝癌组患者,差异均具有统计学意义(U值分别为 1 598、1 255、909、889,P值均<0.05)。原发性肝癌组患者AFP显著高于转移性肝癌组患者,癌胚抗原(CEA)显著低于转移性肝癌组患者,差异均具有统计学意义(U值分别为 1 873、926,P值均<0.05)。原发性肝癌组患者总胆汁酸(TBA)、胆酸(CA)、鹅脱氧胆酸(CDCA)、熊脱氧胆酸(UDCA)、甘氨脱脱氧胆酸(TCDCA)、甘氨胆酸(GCDCA)、甘氨鹅脱氧胆酸(GCDCA)、甘氨糖脱氧胆酸(GCDCA)、甘氨糖脱氧胆酸(GDDCA)均显著高于转移性肝癌患者,脱氧胆酸(DCA)显著低于转移性肝癌患者,差异均具有统计学意义(P值均<0.05)。总人群中 TBA、CDCA、GCA、GCDCA、GUDCA、TCA、TCDCA及TUDCA含量与AFP水平呈显著正相关(P值均<0.05)。AFP+TCA+GCA+TCDCA联合检测的 AUC 为 0.822(95% CI:0.746~0.898,P<0.0001),效能最高。结论 原发性肝癌具有更优的临床诊断价值。

关键词: 胆汁酸类和盐类; 肝肿瘤; 肿瘤转移

基金项目: 国家自然科学基金(82104619); 上海市卫健委卫生行业临床研究专项(20214Y0455); 上海中医药大学预算内项目(2021LK105)

Differences and application value of plasma bile acids in tumors of the liver

JIA Ru^{1a}, ZHANG Pingping^{1a}, YUAN Yuan^{2a}, HU Yiyang^{2b,3,4}, FENG Qin^{1b,2b,3,4}. (1. a. Department of Oncology, b. Technical Experimental Center, Shuguang Hospital Affiliated to Shanghai University of Traditional Chinese Medicine, Shanghai 201203, China; 2. a. School of Integrative Medicine, b. Institute of Liver Diseases, Shanghai University of Traditional Chinese Medicine, Shanghai 201203, China; 3. Shanghai Key Laboratory of Traditional Chinese Medicine, Shanghai 201203, China; 4. Key Laboratory of Liver and Kidney Diseases, Ministry of Education, Shanghai 201203, China)

Corresponding author: FENG Qin, fengqin@shutcm.edu.cn (ORCID: 0000-0002-4641-1636)

Abstract: Objective To investigate the levels of plasma bile acids (BA) in patients with primary liver cancer (PLC) or metastatic liver cancer (MLC) and their correlation with clinical indicators, as well as the value of plasma BAs combined with alpha-fetoprotein (AFP) in the diagnosis of PLC. **Methods** This study was conducted among 75 patients with PLC and 79 patients

with MLC who attended Shuguang Hospital Affiliated to Shanghai University of Traditional Chinese Medicine from August 2020 to September 2021 and had a confirmed diagnosis based on histopathological and imaging findings. Peripheral blood samples were collected from all patients, and serum and plasma were separated. Colorimetry and chromatography were used to measure biochemical parameters; electrochemiluminescence immunoassay was used to measure the levels of tumor markers; liquid chromatography-tandem mass spectrometry was used to measure the content of BA. The t-test was used for comparison of normally distributed continuous data, and the Mann-Whitney U test was used for comparison of non-normally distributed continuous data; the Spearman's coefficient was used for correlation analysis; the receiver operating characteristic (ROC) curve was used to evaluate clinical diagnostic efficacy. Results The PLC group had significantly lower levels of total cholesterol, triglyceride, lowdensity lipoprotein cholesterol, and apolipoprotein B than the MLC group (U=1 598, 1 255, 909, and 889, all P<0.05). Compared with the MLC group, the PLC group had a significantly higher level of AFP and a significantly lower level of carcinoembryonic antigen (U=1 873 and 926, both P<0.05). Compared with the MLC group, the PLC group had significantly higher levels of TBA, CA, CDCA, UDCA, TCA, TCDCA, GCA, GCDCA, TUDCA, and GUDCA and a significantly lower level of DCA (all P<0.05). In the total population, the levels of TBA, CDCA, GCA, GCDCA, GUDCA, TCA, TCDCA, and TUDCA were significantly positively correlated with the level of AFP (all P<0.05). In the patients with PLC, the levels of GCA, TCA, TCDCA, and TUDCA were significantly positively correlated with the level of AFP (all P<0.05). Combined measurement of AFP+TCA+GCA+TCDCA had an area under the ROC curve of 0.822 (95% confidence interval: 0.746-0.898, P<0.000 1), suggesting that it had the highest diagnostic efficacy. Conclusion There are significant differences in the levels of plasma BA between the patients with PLC and those with MLC, and the differentially expressed BAs are closely associated with liver function impairment and the increase in AFP. BAs combined with AFP has a better clinical value in the diagnosis of PLC.

Key words: Bile Acids and Salts; Liver Neoplasms; Neoplasm Metastasis

Research funding: National Natural Science Foundation of China (82104619); Shanghai Municipal Health Commission Health Industry Clinical Research Project (20214Y0455); Project under Budget of Shanghai University of Traditional Chinese Medicine (2021LK105)

胆汁酸是胆固醇分解代谢的主要产物,研究[1]显示 胆汁酸在维持生理功能、代谢稳态等多方面发挥作用, 其代谢分布异常与糖尿病[2]、非酒精性脂肪性肝病[3]、 阿尔兹海默病[4]及消化道肿瘤[5]等多种疾病的发生发 展密切相关。胆固醇在肝脏中通过经典途径和替代途 径分别分解代谢生成初级胆汁酸,随胆汁进入肠道,在 菌群作用下经生物转化生成次级胆汁酸,大部分胆汁酸 在位于回肠的胆汁酸转运体的作用下重吸收,形成"肝-肠循环"。研究[6-7]显示初级和次级胆汁酸可以多途径 地影响肝癌病程。同时,临床研究显示胆汁酸在健康人 群中具有鉴别肝癌的能力,且在鉴别肝癌与肝硬化[8]、 非酒精性脂肪性肝炎[9]、病毒性肝炎[10]等其他肝脏疾病 中具有一定的临床价值。同时,胆汁酸还在肝癌疾病进 程中具有预测价值[8]。转移性肝癌是发生在肝脏的继 发性肿瘤病灶,肝脏是大肠癌、胃癌、胰腺癌、乳腺癌等 多种肿瘤最常见的转移部位,也常是多发转移部位的晚 期肿瘤患者最先诊断的病灶[11],当原发灶发病隐匿或受 解剖位置影响不便活检时,对原发性肝癌与转移性肝癌 的鉴别是临床诊疗过程中的关键环节。目前,胆汁酸代 谢在原发性肝癌与转移性肝癌之间是否有差异,其异常

代谢是否可以对两者有效区分,尚缺乏临床数据。因此,本研究以原发性肝癌及转移性肝癌患者为研究对象,分析两组患者的血浆胆汁酸谱特征,筛选差异性代谢物并探讨其临床意义。

1 资料与方法

1.1 研究对象 选取 2020年8月—2021年9月于上海中医药大学附属曙光医院就诊且具有病理组织学及影像学明确的原发性肝癌患者及转移性肝癌患者。原发性肝癌患者属于原发性肝癌组,大肠癌肝转移患者属于转移性肝癌组。纳入标准:(1)原发灶通过病理组织学确诊为肝癌或大肠癌;(2)转移灶通过至少一个影像学诊断,或具有病理检查诊断;(3) Karnofsky 功能状态(Karnofsky performance status)评分≥80分,预计生存期均>3个月。排除标准:(1)合并HAV、HCV等嗜肝病毒感染或自身免疫、酒精、药物等肝硬化患者;(2)合并溃疡型性肠炎、免疫性肠炎及其他自身免疫疾病患者;(3)既往有除原发性肝癌及转移性肝癌以外的其他恶性肿瘤病史或合并其他恶性肿瘤患者;(4)妊娠或哺乳期女

性;(5)合并不易控制的精神类疾病,无法配合收集病史 及样本采集,或临床资料不全者。

1.2 研究方法

- 1.2.1 样本采集 嘱采集对象20:00后禁食禁水,第二 天采集晨起空腹肘静脉血,分离血清及血浆,用于临床 生化指标、肿瘤标志物及胆汁酸检测。处理后样本于 -80℃冰箱冻存。
- 1.2.2 生化指标检测 ALT、AST、TBil、血糖(GLU)、TC、TG、HDL-C、LDL-C、载脂蛋白(Apo)A1及ApoB采用Beckman 全自动生化分析仪检测。糖化血红蛋白(glycosylated hemoglobin type A1C, HbA1c)采用高压液相色谱法检测。
- 1.2.3 肿瘤标志物检测 AFP、癌胚抗原(CEA)、糖类抗原(CA)19-9及CA125采用电化学发光免疫分析法检测,购自罗氏及雅培公司。
- 1.2.4 胆汁酸检测 总胆汁酸(total bile acid,TBA)、胆酸(cholic acid,CA)、鹅脱氧胆酸(chenodeoxycholic acid,CDCA)、脱氧胆酸(deoxycholic acid,DCA)、熊脱氧胆酸(ursodeoxycholic acid,UDCA)、石胆酸(lithocholic acid,LCA)、牛磺胆酸(taurocholic acid,TCA)、牛磺鹅脱氧胆酸(taurochenodeoxycholic acid,TCDCA)、甘氨胆酸(glycocholic acid,GCA)、甘氨鹅脱氧胆酸(glycochenodeoxycholic acid,GCDCA)、牛磺脱氧胆酸(taurodeoxycholic acid,TDCA)、牛磺脱氧胆酸(taurodeoxycholic acid,TDCA)、牛磺烷氧胆酸(tauroursodeoxycholic acid,TUDCA)、牛磺乙胆酸(glycodeoxycholic acid,TLCA)、甘氨脱氧胆酸(glycodeoxycholic acid,GDCA)、甘氨脱氧胆酸(glycodeoxycholic acid,GDCA)、甘氨熊脱氧胆酸(glycoursodeoxycholic acid,GUDCA)及甘氨石胆酸(glycolithocholic acid,GLCA)采用高效液相色谱-串联质谱法检测,购自SCIEX公司。

1.3 统计学方法 采用 SPSS 27.0、MedCalc 22.018软件进行统计学分析,采用 GraphPad Prism 9.5.1 软件绘图。正态性检验采用 Kolmogorov-Smirnov t 检验,计量资料符合正态分布采用 $\bar{x}\pm s$ 表示,两组间比较采用成组 t 检验;不符合正态分布以 $M(P_{25}\sim P_{75})$ 表示,两组间比较采用 Mann-Whitney U 检验。评估两变量的相关系数采用 Spearman 相关性检验。指标诊断分析采用受试者工作特征曲线 (ROC 曲线) 绘制。P<0.05 为差异有统计学意义。

2 结果

- 2.1 两组患者一般情况比较 本研究共纳入154例患者。原发性肝癌组共纳入75例,其中男54例,女21例;平均年龄65.93岁,年龄范围31~85岁;肝细胞癌61例,胆管细胞癌14例;CNLC分期Ⅱ期30例,Ⅲ期45例。转移性肝癌组共纳入79例,其中男53例,女26例;平均年龄61.48岁,年龄范围30~82岁;结肠癌48例,直肠癌31例,病理类型均为腺癌;TNM分期均为Ⅳ期。
- 2.2 两组患者生化指标水平比较 选取指标包括肝功能、糖代谢及脂代谢相关指标。两组患者 ALT、AST、TBil、GLU、HbA1c、HDL-C及 ApoA1组间比较差异均无统计学意义(P值均>0.05),转移性肝癌患者的 TC、TG、LDL-C及 ApoB 较原发性肝癌患者显著升高(P值均<0.05)(表1)。
- 2.3 两组患者肿瘤标志物水平比较 选取指标以消化 道肿瘤相关指标为主。原发性肝癌患者 AFP水平显著 高于转移性肝癌患者 (P<0.05),转移性肝癌患者 CEA 水平显著高于原发性肝癌患者 (P<0.05),两组间在 CA19-9、CA125 比较时差异无统计学意义 (P值均>0.05)(表2)。

表1 两组患者生化指标比较

Table 1 Comparison of levels of laboratory tests between patients with primary liver cancer or metastatic liver cancer

项目	原发性肝癌组(n=75)	转移性肝癌组(n=79)	统计值	P值
ALT(U/L)	25. 00(18. 00 ~ 33. 00)	22. 00(12. 00 ~ 37. 00)	U=2 375	0. 177
AST(U/L)	31. 00(27. 25 ~ 52. 00)	29. 00(20. 75 ~ 46. 00)	U=1 933	0.063
$TBil(\mu mol/L)$	20. 10(13. 70 ~ 30. 90)	15. 85(12. 63 ~ 28. 80)	$U=2\ 407$	0.059
GLU(mmol/L)	5. 30(4. 60 ~ 6. 00)	5. 05(4. 70 ~ 6. 00)	U=2 636	0. 925
HbA1c(%)	5. 40(4. 90 ~ 6. 00)	5. 50(5. 10 ~ 6. 00)	$U=2\ 140$	0. 205
TC(mmol/L)	3. 87(3. 31 ~ 4. 58)	4. 81(4. 18 ~ 5. 91)	<i>U</i> =1 598	<0.001
TG(mmol/L)	1. 04(0. 88 ~ 1. 38)	1. 31(1. 07 ~ 1. 85)	<i>U</i> =1 255	<0.001
HDL-C(mmol/L)	1. 07±0. 29	1. 09±0. 34	t=0. 243	0. 867
LDL-C(mmol/L)	2. 09(1. 45 ~ 2. 73)	3. 06(2. 38 ~ 4. 08)	U=909	<0.001
ApoA1(g/L)	0. 90(0. 73 ~ 1. 06)	0. 93(0. 81 ~ 1. 14)	U=1 474	0. 154
ApoB(g/L)	0. 67(0. 49 ~ 0. 89)	0.93(0.69 ~ 1.16)	U=889	<0.001

2.4 两组患者血浆胆汁酸含量比较 共检测血浆中15种胆汁酸含量。原发性肝癌患者血浆TBA含量显著高于转移性肝癌患者(P<0.05)。比较两组患者结合型胆汁酸含量,原发性肝癌患者TCA、TCDCA、GCA、GCDCA、TUDCA、GUDCA显著高于转移性肝癌患者(P值均<0.05)。在游离型胆汁酸中,原发性肝癌患者CA、CDCA、UDCA显著高于转移性肝癌患者(P值均<0.05),而DCA显著低于转移性肝癌患者(P<0.05)。两组间在LCA、TDCA、TLCA、GDCA、GLCA含量比较时差异均无统计学意义(P值均>0.05)(表3)。

2.5 差异性胆汁酸的临床相关性分析 以2.4节中发现的两组间差异胆汁酸为研究对象。在总人群中,患者血浆 TBA、GCA、GCDCA、TCA、TCDCA及 TUDCA含量与ALT、AST及TBil水平呈显著正相关(P值均<0.05),CDCA、UDCA及GUDCA含量与TBil水平呈显著正相关(P值均<0.05);TBA、CDCA、GCA、GCDCA、GUDCA、TCA、TCDCA及TUDCA含量与AFP水平呈显著正相关(P值均<0.05),DCA含量与AFP水平呈显著负相关(P<0.05),TBA、CDCA、UDCA及GUDCA含量与CEA水平呈显著负相关(P<0.05),TBA、CDCA、UDCA及GUDCA含量与CEA水平呈

显著负相关(P值均<0.05)(图1)。在原发性肝癌患者人群中,患者血浆TBA、GCA、TCA及TCDCA含量与AST及TBil水平呈显著正相关(P值均<0.05),GCDCA含量与AST水平呈显著正相关(P60.05),UDCA、GUDCA及TUDCA含量与TBil水平呈显著正相关(P值均<0.05);GCA、TCA、TCDCA及TUDCA含量与AFP水平呈显著正相关(P值均<0.05);DCA含量与TBil水平呈显著的相关(P60.05)(图2)。

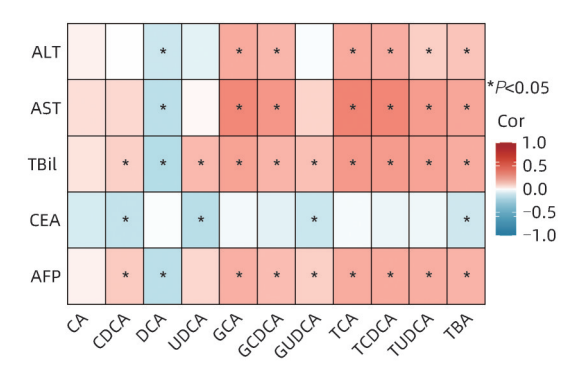


图 1 总人群中血浆胆汁酸含量与临床指标的相关性分析 Figure 1 Correlation analysis of plasma BA and clinical markers in all liver cancer patients

表 2 两组患者肿瘤标志物水平比较

Table 2 Comparison of levels of serum tumor markers between patients with primary liver cancer or metastatic liver cancer

-				
项目	原发性肝癌组(n=75)	转移性肝癌组(n=79)	U值	P值
AFP(ng/mL)	6. 45(3. 16 ~ 15. 74)	4. 02(2. 54 ~ 5. 23)	1 873	<0.001
CEA(ng/mL)	$3.04(2.53 \sim 5.42)$	15. 14(5. 02 ~ 83. 18)	926	<0.001
CA19-9(U/mL)	21. 20(10. 83 ~ 54. 69)	21. 36(10. 22 ~ 154. 38)	2 361	0. 840
CA125(U/mL)	18. 70(12. 50 ~ 36. 20)	21. 20(10. 55 ~ 44. 63)	1 181	0. 128

表3 两组患者血浆胆汁酸含量比较

Table 3 Comparison of concentrations of plasma BA between patients with primary liver cancer or metastatic liver cancer

项目	原发性肝癌组(n=75)	转移性肝癌组(n=79)	U值	P值
TBA(nmol/L)	11 675. 7(6 098. 5 ~ 33 679. 9)	5 241. 6(2 445. 8 ~ 10 062. 8)	886	<0.001
CA(nmol/L)	290. 7(148. 6 ~ 1 030. 0)	114. 0(62. 8 ~ 319. 0)	1 084	<0.001
CDCA(nmol/L)	2 570. 0(766. 4 ~ 3 040. 0)	527. 0(191. 5 ~ 1 127. 2)	750	<0.001
DCA(nmol/L)	66. 9(6. 9 ~ 354. 0)	238. 3(19. 1 ~ 572. 0)	1 223	0.010
UDCA(nmol/L)	199. 0(109. 5 ~ 572. 5)	68. 7(26. 8 ~ 246. 5)	1 039	< 0.001
LCA(nmol/L)	15. 7(6. 3 ~ 45. 6)	21. 2(10. 7 ~ 39. 9)	1 476	0. 243
TCA(nmol/L)	444. 0(90. 3 ~ 2 231. 1)	47. 2(11. 3 ~ 482. 2)	862	< 0.001
TCDCA(nmol/L)	627. 0(256. 0 ~ 5 060. 0)	145. 0(48. 7 ~ 981. 9)	828	< 0.001
GCA(nmol/L)	1 309. 2(424. 0 ~ 4 670. 0)	444. 6(190. 5 ~ 1 400. 4)	1 018	< 0.001
GCDCA(nmol/L)	3 530. 0(1 160. 0 ~ 13 341. 0)	1 149. 3(388. 4 ~ 3 537. 4)	978	< 0.001
TDCA(nmol/L)	23. 6(0. 0 ~ 114. 0)	25. 6(5. 0 ~ 92. 3)	1 423	0. 144
TUDCA(nmol/L)	41. 8(10. 8 ~ 117. 0)	7. 3(1. 9 ~ 21. 5)	832	< 0.001
TLCA(nmol/L)	$0.9(0.2 \sim 4.0)$	$0.9(0.0 \sim 2.3)$	1 520	0.352
GDCA(nmol/L)	119. 8(5. 9 ~ 609. 0)	187. 0(13. 7 ~ 498. 0)	1 586	0.570
GUDCA(nmol/L)	434. 0(156. 8 ~ 1 390. 0)	104. 0(49. 9 ~ 637. 1)	986	< 0.001
GLCA(nmol/L)	5. 2(0. 6 ~ 29. 0)	6. 4(1. 8 ~ 19. 8)	1 641	0.789

2.6 AFP 联合血浆胆汁酸区分原发性肝癌的临床价值 选取 2.5 节中与临床指标显著相关的血浆胆汁酸,联合 AFP 构建 Logistic 回归模型,并采用 ROC 曲线分析单项及 联合指标对原发性肝癌的区分能力。结果显示 AFP 单项指标的 ROC 曲线下面积(AUC)为 0.680(95%CI:0.593~0.767,P=0.0001), AFP+TBA 联合检测的 AUC 为 0.783(95%CI:0.694~0.874,P<0.0001), AFP+TCA+GCA+TCDCA 联合检测的 AUC 为 0.822(95%CI:0.746~0.898,P<0.0001), 区分效能优于 AFP 单项指标(图3)。

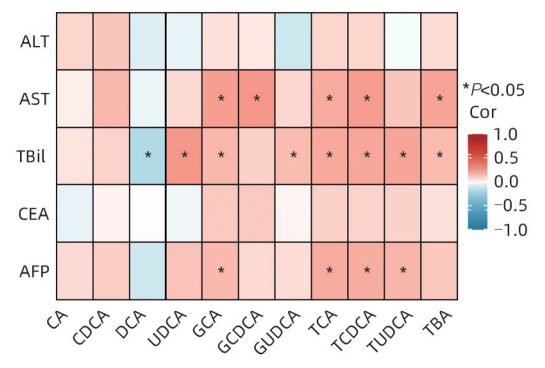


图 2 原发性肝癌人群中血浆胆汁酸含量与临床指标的相关 性分析

Figure 2 Correlation analysis of plasma BA and clinical markers in primary liver cancer patients

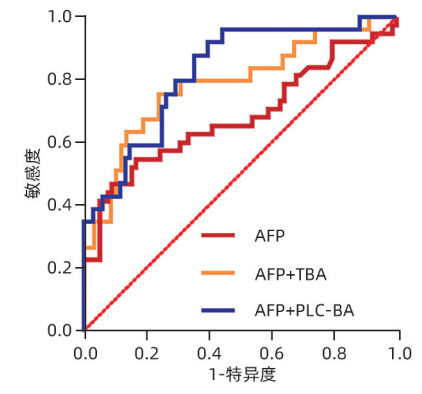


图 3 AFP联合血浆胆汁酸区别原发性肝癌的 ROC 曲线分析 Figure 3 ROC curves of AFP combined with plasma BA for detection of primary liver cancer

3 讨论

胆汁酸的合成和排泄是脂肪和胆固醇代谢的主要途径,其代谢异常与肥胖、糖尿病、非酒精性脂肪性肝病等多种代谢性疾病密切相关^[12]。同时,胆汁酸还可作为信号分子,与多种组织中的多种受体结合,进而激活下游信号通路,发挥生理功能^[13]。近年来,越来越多研究关注到了胆汁酸的异常代谢与恶性肿瘤的密切关系。研究提示,胆汁酸通过诱导细胞凋亡^[14]、介导肿瘤免

疫^[15]、激活相关信号通路^[16]、调控肿瘤微环境^[17]等多途径影响肝肿瘤的发生发展。肝细胞癌患者血浆胆汁酸的含量及组成与健康志愿者及肝硬化等疾病均存在差异,且具有临床诊断潜力^[18-19]。但原发性肝癌与转移性肝癌的胆汁酸差异及区分效能的相关研究目前较少,拟通过本项研究提供一定临床证据支持。

本研究首先比较了两组患者的生化指标,两组患者在肝功能(ALT、AST、TBil)及糖代谢(GLU、HbA1c)相关指标上差异均无统计学意义,提示两组患者一般情况相似。在脂代谢相关指标中,转移性肝癌组患者TC、TG与LDL-C较原发性肝癌组显著升高,这可能与两类疾病的常见诱因相关。目前认为,在我国HBV感染、黄曲霉毒素摄入等仍是原发性肝癌发生的重要原因^[20]。在病毒性肝炎感染方面,与发达国家肝癌患者血清中抗HCV高流行率不同,HCV感染不是我国肝癌发生的主要原因^[21]。而大肠癌的发病与地区经济、饮食习惯、生活方式和环境因素等密切相关,其中高脂、低纤维饮食习惯是重要的危险因素^[22]。另外,肝脏作为大肠癌最容易发生远处转移且通常是唯一受累的靶器官,脂肪肝增加了肝转移的发生及进展风险^[23]。

在肿瘤标志物的比较中,原发性肝癌组AFP显著高于转移性肝癌组,AFP是诊断原发性肝癌的特异性标志物。而转移性肝癌组CEA显著高于原发性肝癌组,CEA是肠癌诊断时敏感度与特异度较好的一项肿瘤标志物。两组CA19-9、CA125指标差异均无统计学意义。

在本项研究中,发现与转移性肝癌患者相比,原发性 肝癌患者血浆胆汁酸含量及组分发生了明显的变化。肝 脏代谢及肠道菌群的生物修饰是胆汁酸代谢合成的两大 途径,两者对机体胆汁酸谱的构成具有同样重要的影响, 原发性肝癌与肠癌肝转移患者的肝脏环境及肠道微生态 环境的巨大差异,可能是他们TBA含量明显差异的主要 原因。原发性肝癌患者血浆TBA、CA、CDCA、UDCA、 TCA、TCDCA、GCA、GCDCA、TUDCA、GUDCA均显著高于 转移性肝癌患者(P值均<0.05)。Luo等[19]发现肝细胞 癌患者血浆 GCA、TCA、TCDCA、TDCA 均较健康组显著升 高,Xiao等[24]发现肝癌患者血浆GCA、GDCA、GCDCA均 高于健康对照组,支持本研究的结果。同时,相较于转 移性肝癌组,原发性肝癌组患者血浆 DCA 显著降低(P< 0.05),这可能与本研究中转移性肝癌原发灶均为大肠 癌密切相关。研究提示大肠癌血浆及粪便DCA水平显 著升高^[25],高脂饮食诱导的肠道 DCA 升高促进大肠癌 发生发展[26]。相较于原发性肝癌组,在转移性肝癌组也

观察到了血脂代谢的异常,提示肠癌肝转移的发生与血脂代谢异常及血浆 DCA 升高三者之间的密切联系。

进一步的相关性分析显示,上述筛选的差异性胆酸 与肝功能异常呈正相关(P<0.05),胆汁酸的生成依赖肝 脏的生理功能,肝损伤与胆汁酸代谢异常是相互促进的 循环过程。在总人群中与原发性肝癌人群中观察到了 异常的胆汁酸与AFP的升高呈显著正相关,提示胆汁酸 异常代谢与肿瘤疾病进程密切相关。Chen等[27]提出血 浆GCA、GCDCA含量与肝癌病情进展密切相关,在肝癌 病程进展评估上具有较好的潜力。单独应用AFP对原 发性肝癌及转移性肝癌进行区分时, AFP的 AUC 为 0.680(95%CI: 0.593~0.767, P=0.0001), 提示 AFP 可 以较好地对两者进行区分。使用TBA与AFP联合时, AFP+TBA 的 AUC 为 0.783 (95%CI: 0.694~0.874, P< 0.000 1)。采用上述差异性胆酸联合分析时,AFP+ TCA+GCA+TCDCA 联合检测的 AUC 为 0.822(95%CI: 0.746~0.898,P<0.0001),提示血浆胆汁酸联合AFP可 以提高对原发性肝癌与转移性肝癌的区分效能,具有一 定的临床应用潜力。除了肝脏代谢外,肠道菌群的生物 修饰在胆汁酸的合成代谢中起重要作用[28],有关研究需 要进一步严谨的临床研究设计,更多样本类型、更多病 种、更大样本的数据分析需要被纳入。除此之外,在健康 人群中鉴别原发性肝癌时,甲胎蛋白异质体、异常凝血酶 原、GPC3等被用于与AFP联合诊断。同时,许多研究再 次基础上进一步探索AFP单项或多项指标进一步联合其 他外周血标志物,如:血清壳多糖酶3样蛋白1^[29]、GNB4 和 Riplet 基因甲基化检测^[30]、微 RNA^[31]等,可提高 AFP 单项或联合甲胎蛋白异质体等的检测效能,胆汁酸与以 上指标的联合检测效力也值得进一步探讨。

综上所述,原发性肝癌与转移性肝癌血浆胆汁酸含量及组成有明显差异,血浆差异性胆汁酸与肝功能及AFP呈正相关,AFP联合TBA具有潜在区分原发性肝癌与转移性肝癌的鉴别价值,对于临床诊断具有一定应用潜力。

伦理学声明:本研究方案经由上海中医药大学附属曙光 医院伦理委员会审批,批号:2020-831-38-01。

利益冲突声明: 本文不存在任何利益冲突。

作者贡献声明: 贾茹负责实验设计,样本采集,数据分析 及论文撰写;张平平、袁苑负责样本采集及数据分析;胡 义扬负责指导实验设计;冯琴负责指导实验设计及论文 撰写并最终定稿。

参考文献:

- [1] JIA W, XIE GX, JIA WP. Bile acid-microbiota crosstalk in gastrointestinal inflammation and carcinogenesis[J]. Nat Rev Gastroenterol Hepatol, 2018, 15(2): 111-128. DOI: 10.1038/nrgastro.2017.119.
- [2] CHÁVEZ-TALAVERA O, TAILLEUX A, LEFEBVRE P, et al. Bile acid control of metabolism and inflammation in obesity, type 2 diabetes, dyslipidemia, and nonalcoholic fatty liver disease[J]. Gastroenterology, 2017, 152(7): 1679-1694.e3. DOI: 10.1053/j.gastro.2017.01.055.
- [3] SMIRNOVA E, MUTHIAH MD, NARAYAN N, et al. Metabolic reprogramming of the intestinal microbiome with functional bile acid changes underlie the development of NAFLD[J]. Hepatology, 2022, 76(6): 1811-1824. DOI: 10.1002/hep.32568.
- [4] CHEN T, WANG L, XIE G, et al. Serum bile acids improve prediction of Alzheimer's progression in a sex-dependent manner[J]. Adv Sci (Weinh), 2024, 11(9): e2306576. DOI: 10.1002/advs.202306576.
- [5] SONG WS, PARK HM, HA JM, et al. Discovery of glycocholic acid and taurochenodeoxycholic acid as phenotypic biomarkers in cholangiocarcinoma[J]. Sci Rep, 2018, 8(1): 11088. DOI: 10.1038/s41598-018-29445-z.
- [6] JI SY, LIU QX, ZHANG SH, et al. FGF15 activates hippo signaling to suppress bile acid metabolism and liver tumorigenesis [J]. Dev Cell, 2019, 48(4): 460-474. e9. DOI: 10.1016/j.devcel.2018.12.021.
- [7] SUN RQ, ZHANG ZY, BAO RX, et al. Loss of SIRT5 promotes bile acid-induced immunosuppressive microenvironment and hepatocarcinogenesis[J]. J Hepatol, 2022, 77(2): 453-466. DOI: 10.1016/j. ihep.2022.02.030.
- [8] LIU ZR, JIA XD, LU YY. Research advances in hepatocellular carcinoma-related imbalance of bile acid metabolism and related regulatory mechanism[J]. J Clin Hepatol, 2021, 37(3): 690-694. DOI: 10.3969/j.issn.1001-5256.2021.03.038. 刘哲睿, 贾晓东, 陆荫英. 肝细胞癌相关胆汁酸代谢失衡及调控机制的研究进展[J]. 临床肝胆病杂志, 2021, 37(3): 690-694. DOI: 10.3969/
- [9] SYDOR S, BEST J, MESSERSCHMIDT I, et al. Altered microbiota diversity and bile acid signaling in cirrhotic and noncirrhotic NASH-HCC [J]. Clin Transl Gastroenterol, 2020, 11(3): e00131. DOI: 10.14309/cta.000000000000131

j.issn.1001-5256.2021.03.038.

- [10] PETRICK JL, FLORIO AA, KOSHIOL J, et al. Prediagnostic concentrations of circulating bile acids and hepatocellular carcinoma risk: REVEAL-HBV and HCV studies[J]. Int J Cancer, 2020, 147(10): 2743-2753. DOI: 10.1002/jic.33051.
- [11] LI YY, LI JJ, SHI HF, et al. Advances in imaging research on source identification of primary liver metastases [J]. J Clin Radiol, 2023, 42 (5): 878-881. DOI: 10.13437/j.cnki.jcr.2023.05.007. 黎玉莹, 李晶晶, 石海峰, 等. 肝转移瘤原发灶来源鉴别的影像学研究进展[J]. 临床放射学杂志, 2023, 42(5): 878-881. DOI: 10.13437/j.cnki.jcr.2023.05.007.
- [12] JIA W, WEI ML, RAJANI C, et al. Targeting the alternative bile acid synthetic pathway for metabolic diseases[J]. Protein Cell, 2021, 12 (5): 411-425. DOI: 10.1007/s13238-020-00804-9.
- [13] LI TG, CHIANG JYL. Bile acid signaling in metabolic disease and drug therapy[J]. Pharmacol Rev, 2014, 66(4): 948-983. DOI: 10.1124/ pr 113.008201
- [14] WANG CZ, YANG MY, ZHAO JF, et al. Bile salt (glycochenodeoxy-cholate acid) induces cell survival and chemoresistance in hepato-cellular carcinoma[J]. J Cell Physiol, 2019, 234(7): 10899-10906. DOI: 10.1002/jcp.27905.
- [15] MA C, HAN MJ, HEINRICH B, et al. Gut microbiome-mediated bile acid metabolism regulates liver cancer via NKT cells[J]. Science, 2018, 360(6391): eaan5931. DOI: 10.1126/science.aan5931.
- [16] SARKAR J, AOKI H, WU RR, et al. Conjugated bile acids accelerate progression of pancreatic cancer metastasis via S1PR2 signaling in cholestasis[J]. Ann Surg Oncol, 2023, 30(3): 1630-1641. DOI: 10.1245/ s10434-022-12806-4.

- [17] CHENG P, WU JW, ZONG GF, et al. Capsaicin shapes gut microbiota and pre-metastatic niche to facilitate cancer metastasis to liver [J]. Pharmacol Res, 2023, 188: 106643. DOI: 10.1016/j.phrs.2022. 106643.
- [18] HAN J, QIN WX, LI ZL, et al. Tissue and serum metabolite profiling reveals potential biomarkers of human hepatocellular carcinoma [J]. Clin Chim Acta, 2019, 488: 68-75. DOI: 10.1016/j.cca.2018.10.039.
- [19] LUO P, YIN PY, HUA R, et al. A Large-scale, multicenter serum metabolite biomarker identification study for the early detection of hepatocellular carcinoma[J]. Hepatology, 2018, 67(2): 662-675. DOI: 10.1002/hep.29561.
- [20] XIAN LF, FANG LT, LIU WB, et al. Epidemiological status, main pathogenesis and prevention and control strategies of primary liver cancer[J]. Chin J Oncol Prev Treat, 2022, 14(3): 320-328. DOI: 10. 3969/j.issn.1674-5671.2022.03.13.
 - 鲜林峰, 方乐天, 刘文斌, 等. 原发性肝癌流行现状、主要发病机制及防控策略[J]. 中国癌症防治杂志, 2022, 14(3): 320-328. DOI: 10.3969/j.issn.1674-5671.2022.03.13.
- [21] The Society of Liver Cancer, China Anti-Cancer Association. CACA guidelines for holistic integrative management of cancer-liver cancerpart[J/CD]. J Multidiscip Cancer Manag Electron Version, 2022, 8(3): 31-63. DOI: 10.12151/JMCM.2022.03-06. 中国抗癌协会肝癌专业委员会. 中国肿瘤整合诊治指南(CACA)-肝癌部分[J/CD]. 肿瘤综合治疗电子杂志, 2022, 8(3): 31-63. DOI: 10.12151/

JMCM.2022.03-06

- [22] TIAN CX, ZHAO L. Epidemiological characteristics of colorectal cancer and colorectal liver metastasis[J]. Chin J Cancer Prev Treat, 2021, 28 (13): 1033-1038. DOI: 10.16073/j.cnki.cjcpt.2021.13.12.
 田传鑫, 赵磊. 结直肠癌及结直肠癌肝转移流行病学特点[J]. 中华肿瘤 防治杂志, 2021, 28(13): 1033-1038. DOI: 10.16073/j.cnki.cjcpt.2021.
- [23] WANG ZJ, KIM SY, TU W, et al. Extracellular vesicles in fatty liver promote a metastatic tumor microenvironment[J]. Cell Metab, 2023, 35(7): 1209-1226. e13. DOI: 10.1016/j.cmet.2023.04.013.
- [24] XIAO JF, VARGHESE RS, ZHOU B, et al. LC-MS based serum metabolomics for identification of hepatocellular carcinoma biomarkers in Egyptian cohort[J]. J Proteome Res, 2012, 11(12): 5914-5923. DOI: 10.1021/pr300673x.
- [25] ZENG HW, UMAR S, RUST B, et al. Secondary bile acids and short chain fatty acids in the colon: A focus on colonic microbiome, cell proliferation, inflammation, and cancer[J]. Int J Mol Sci, 2019, 20 (5): 1214. DOI: 10.3390/ijms20051214.

- [26] LI JY, GILLILLAND M 3rd, LEE AA, et al. Secondary bile acids mediate high-fat diet-induced upregulation of R-spondin 3 and intestinal epithelial proliferation[J]. JCI Insight, 2022, 7(19): e148309. DOI: 10.1172/jci.insight.148309.
- [27] CHEN TL, XIE GX, WANG XY, et al. Serum and urine metabolite profiling reveals potential biomarkers of human hepatocellular carcinoma[J]. Mol Cell Proteomics, 2011, 10(7): M110.004945. DOI: 10.1074/mcp.M110.004945.
- [28] COLLINS SL, STINE JG, BISANZ JE, et al. Bile acids and the gut microbiota: Metabolic interactions and impacts on disease[J]. Nat Rev Microbiol, 2023, 21(4): 236-247. DOI: 10.1038/s41579-022-00805-x.
- [29] ZHANG YF, LI MC. Application value of chitosanase 3-like protein 1, alpha-fetoprotein, glycoactrin 19-9, glutamyltranspeptidase in the early diagnosis of primary liver cancer[J]. Chin J Health Lab Technol, 2023, 33(4): 467-470.
 - 张艳芬, 李明才. 血清壳多糖酶3样蛋白1、甲胎蛋白、糖类抗原19-9及谷氨酰转肽酶在原发性肝癌早期诊断中的应用价值[J]. 中国卫生检验杂志, 2023, 33(4): 467-470.
- [30] YANG YP, XU EJ, WANG XX, et al. The value of GNB4 and Riplet gene methylation detection in the diagnosis of primary liver cancer [J]. Acta Univ Med Anhui, 2024, 59(2): 357-362. DOI: 10.19405/j. cnki.issn1000-1492.2024.02.028.
 - 杨玉萍, 徐恩君, 汪轩轩, 等. GNB4和 Riplet基因甲基化检测在原发性 肝癌诊断中的价值研究[J]. 安徽医科大学学报, 2024, 59(2): 357-362. DOI: 10.19405/j.cnki.issn1000-1492.2024.02.028.
- [31] ZHANG JL, SHEN Q, WANG N, et al. Values of serum 7 microRNAs alone or in combination with α-fetoprotein in diagnosing hepatocellular carcinoma[J]. Acad J Nav Med Univ, 2023, 44(5): 636-639. DOI: 10.16781/j.cn31-2187/r.20220648.

张敬磊, 沈强, 王能, 等. 血清 7 种微 RNA 单独或联合甲胎蛋白检测对肝细胞癌的诊断价值 [J]. 海军军医大学学报, 2023, 44(5): 636-639. DOI: 10.16781/j.cn31-2187/r.20220648.

收稿日期: 2024-01-24;录用日期: 2024-04-15

本文编辑: 王亚南

引证本文: JIA R, ZHANG PP, YUAN Y, et al. Differences and application value of plasma bile acids in tumors of the liver [J]. J Clin Hepatol, 2024, 40(10): 2042-2048.

贾茹, 张平平, 袁苑, 等. 血浆胆汁酸在肝肿瘤中的差异分析及应用价值[J]. 临床肝胆病杂志, 2024, 40(10): 2042-2048.

· 致谢·

本期审稿专家

Current reviewers

马力文 王 凯 王凯旋 王 禹 王楠娅 孔丽 田 辉 浪 朱传武 任永强 刘松梅 白 刘建生 刘 梅 刘燕敏 闫惠平 李广阔 李志群 李 李忠廉 杜锡林 肖 李胜棉 李海涛 李 越 杨向红 杨晋辉 辛永宁 张伦理 张秋瓒 张俊晶 张 勇 陆伦根 陆荫英 陈世耀 陈国凤 陈澜澜 武振宇 苗新普 范文亮 岳树强 岳振东 周永健 周华邦 郑明华 胡爱荣 鲁玉辉 钟渊斌 施维群 贾志芳 夏时海 徐 波 殷 涛 黄振鹏 龚作炯 董高宏 鲁晓岚 童欢廖专 薛 挥 薛博瑜 戴二黑